# 抗人整合素 $\alpha \nu \beta$ 单抗 E10 鼠/人嵌合 Fab 噬菌体抗体的构建和表达

王 臣<sup>1</sup>, 侯利华<sup>2</sup>, 张彦明<sup>1</sup>, 李建民<sup>2</sup>, 廖振林<sup>2</sup>, 杜桂鑫<sup>2</sup>, 陈 薇<sup>2</sup>, 童贻刚<sup>2</sup>

(1 西北农林科技大学 动物科技学院,陕西 杨凌 712100; 2 军事医学科学院 微生物流行病研究所,北京 100071)

[摘 要] 为构建抗人整合素  $\alpha\beta$  单抗 E10 鼠/人嵌合 Fab 噬菌体抗体表达载体, 并在噬菌体表面表达, 采用 PCR 方法从整合素  $\alpha\beta$  单抗 E10ScFv 载体中, 扩增重链可变区 V<sub>H</sub> 和轻链可变区 V<sub>L</sub> 基因。将 V<sub>H</sub> 基因与人重链恒定区 C<sub>H</sub>1 基因连接, V<sub>L</sub> 基因与人 C<sub>K</sub> 基因连接, 分别构建了鼠/人嵌合重链 FD 基因和轻链基因, 将其克隆入 pCom b3, 构建了鼠/人嵌合 Fab 噬菌体抗体表达载体, 用辅助噬菌体 VCSM 13 超感染, 间接 EL ISA 及竞争抑制 EL ISA 检测鼠/人嵌合 Fab 噬菌体抗体活性。结果成功构建了鼠/人嵌合 Fab 噬菌体抗体表达载体, 并在噬菌体表面展示了可结合人整合素  $\alpha\beta$  抗原的鼠/人嵌合 Fab 抗体。

[关键词] 整合素 దుద్ద; 嵌合抗体; 噬菌体展示

[中图分类号] R 392 11

[文献标识码] A

[文章编号] 1671-9387(2004)05-0009-05

肿瘤的生长、复发和转移均与血管形成密切相 关。Folkm an [1,2]提出, 可通过抑制肿瘤血管生成来 限制其氧气和养分的供给, 从而抑制肿瘤的生长, 这 为肿瘤的治疗提供了新的策略。 当前研究肿瘤血管 导向治疗和肿瘤血管靶标分子已成为国内外的研究 热点。整合素 దుහ 是细胞粘附分子超家族成员,由 于其在肿瘤血管生成和肿瘤转移上的作用, 近年来 备受重视。本室获得的抗人整合素 ανβ 杂交瘤细胞 株 E10. 具有很好的中和整合素 ανβ 而促进肿瘤血 管生成的活性, 在体内、体外试验均能有效地抑制肿 瘤的生长、显示了其临床治疗肿瘤的良好前景。但目 前由于鼠单抗应用于人体易产生人抗鼠(HAMA) 反应, 故严重限制了其在临床上的应用。 而鼠/人嵌 合抗体保留了原鼠单抗的高亲和力, 其恒定区为人 的免疫球蛋白 G(IgG), 使其在人体的 HAM A 反应 大大降低, 可以满足临床应用的需要, 显著提高了鼠 单抗在临床治疗中的应用价值。为此,本室构建了鼠 /人嵌合 Fab (抗原结合片段) 噬菌体抗体表达载体.

他基因工程抗体和临床应用奠定了基础。

# 1 材料与方法

# 1.1 材料

## 1.2 方法

1.21 引物设计 分别设计了 8 条引物扩增 E10  $V_H, V_L$  和人重链  $C_H1$  及人  $C_K$  基因。其中,分别在扩增 E10  $V_H, V_L$  的上游引物  $mV_H5$  和  $mV_L5$  时,设计了 XhoI 和 SacI 酶切位点。在人重链  $C_H1$  和  $C_K$  的下游引物  $HC_H3$  和  $HC_K3$ ,设计了 SpeI 和 XbaI 酶切位点。引物序列如下:

mV<sub>H</sub>5: 5-CAG GTT CAG CTG CTC GAG TCT GGA

利用噬菌体展示技术在噬菌体表面表达了具有特异

结合活性的鼠/人嵌合 Fab 抗体, 为进一步表达其

<sup>\* [</sup>收稿日期] 2003-12-01

<sup>[</sup>基金项目] 国家 863 计划项目资助(2001AA 5361)

<sup>[</sup>作者简介] 王 臣(1979-), 男, 安徽霍丘人, 硕士, 主要从事分子病原学与免疫学研究。 E-mail wangchen 2001@163 com

GCT GAG CTG GCG-3 (X ho I );

mV<sub>H</sub>3: 5-TGG GCC CTT GGT GGA GGC TGA GGA GAC GGT GAC TGA GGT TCC-3;

mV<sub>L</sub>5: 5-GAA ATT <u>GAG CTC</u> ACC CAG TCT CCA ACC-3 (\$ac I);

mV<sub>L</sub>3:5-AGC CCG CTT TAT TTC-3;

 $HC_H5:5$ -GCC TCC ACC AAG GGC CCA TCG GTC-3;

HC<sub>H</sub>3: 5 -GCA TGT <u>ACT AGT</u> TTT GTC ACA AGA TTT GGG-3 (Spe I);

HCk5: 5-ATA AAG CGG GCT ACT GTG GCT GCA CCA-3:

HCκ3: 5 -GCG CCG TCT AGA ATT AAC ATT CAC
TGT TGA AGC TCT T-3 (X ba I ).

1.2.2 PCR 扩增鼠 $V_H, V_L$  及人恒定区  $C_H 1, C_K$  基因 以本室构建的 E10 ScFv 载体为模板, 根据上述 引物  $mV_H 5$  ,  $mV_H 3$  和  $mV_L 5$  ,  $mV_L 3$  配对扩增 E10  $V_H$  和  $V_L$  基因; 以本室保存的 B7 载体为模板, 以  $HC_H 5$  ,  $HC_H 3$  和  $HC_K 5$  ,  $HC_K 3$  为引物分别扩增人恒定区  $C_H 1$  和  $C_K$  基因。所扩增的 PCR 产物、经琼脂

# 糖凝胶电泳, 切胶回收。

1. 2 3 鼠/人嵌合 FD 基因的连接与克隆 取上述合成的  $V_{H}$ ,  $C_{H}$ 1 基因作为模板, 加入  $mV_{H}$ 5 引物和恒定区引物  $HC_{H}$ 3 各  $1~\mu$ L, 通过融合 PCR  $E10~V_{H}$ 4 基因片段与人恒定区  $C_{H}$ 1 基因, 拼接成鼠/人嵌合 FD 基因。取扩增产物  $2~\mu$ L 进行 1% 琼脂糖电泳,以检测扩增效果,并进行结果判定。其余经琼脂糖凝胶电泳纯化后,经 X~ho I 和 Sp~e I 双酶切,与同样酶切的 pCom~b3 载体连接,转化大肠杆菌 XL~IB~Iue~E6, 挑选菌落提质粒后,质粒再经酶切鉴定插入鼠/人嵌合 FD 基因的阳性克隆。

1.2.4 鼠/人嵌合 Fab 表达载体的构建 取上述合成的 $V_K$ ,  $C_K$  基因作为模板, 加入 $mV_L5$  引物和恒定区引物 $HC_K3$ , 融合 PCR, 回收约 700 bp 的鼠/人嵌合轻链基因, PCR 产物经 Sac I 和 X ba I 酶切后, 与同样处理的 pCom b3-FD 载体连接。转化大肠杆菌 XL IB lue, 提取质粒经酶切鉴定, 筛选阳性克隆。鼠/人嵌合 Fab 表达载体的构建见图 I。

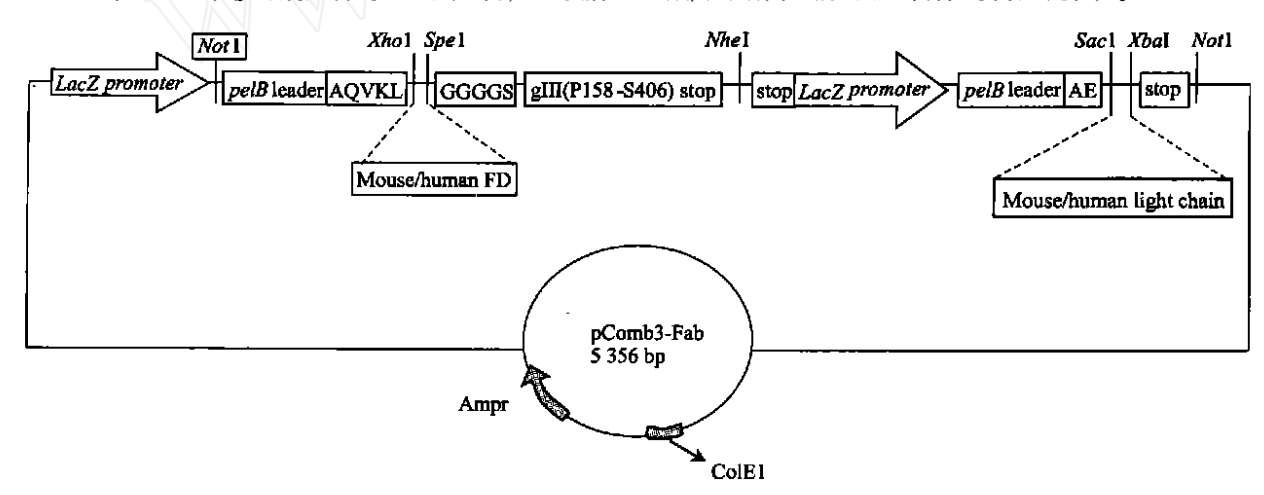


图 1 重组噬菌体载体 pCom b3-Fab 的构建

Fig. 1 Sketch map of phagom id pCom b3-Fab

1. 2 5 鼠/人嵌合 Fab 的表达 挑取阳性菌落,接种于 2 mL SB 培养基中(含 50  $\mu$ g/mL 羧苄, 10  $\mu$ g/mL 四环素), 37 培养至 OD 600=0 5~ 0 6, 加入辅助噬菌体 V C SM 13 20  $\mu$ L ( $10^{11}$  P fu), 37 振摇 2 h 后补足卡那霉素至 70  $\mu$ g/mL, 过夜培养。次日离心收集上清液,即为鼠/人嵌合 Fab 噬菌体抗体。1. 2 6 鼠/人嵌合 Fab 噬菌体抗体的鉴定 (1)鼠/人嵌合 Fab 噬菌体抗体的抗原结合活性——间接 EL ISA。将人整合素  $\infty$ β 抗原稀释至  $1 \mu$ g/mL,每孔  $100 \mu$ L 包被酶联板, 4 过夜。以 100 g/L 脱脂奶粉-PB S 封闭 2 h 后,将上述鼠/人嵌合 Fab 抗体与等量 200 g/L 脱脂奶粉混合,室温放置 30 m in 后加入

到封闭的孔内,每孔  $100~\mu$ L,37 孵育 2~h。用 PB-ST 洗板  $3~\chi$ ,加入辣根过氧化物酶 HR P-抗M  $13~\dot{\Lambda}$ 体,37 放置 1~h。PB ST 洗板  $3~\chi$ ,加 TM B 显色 10~m in (先加 A 液后加 B 液,各  $1~\dot{\alpha}$ ),用  $50~\mu$ L 2~m o  $1/\dot{L}$  H 2 SO 4~ 终止反应。酶标仪测 O D 450~ 值,并以辅助噬菌体 V C SM 13~ 作阴性噬菌体抗体对照。(2)噬菌体抗体的交叉反应性。用鼠/人嵌合 F a b 噬菌体抗体对不同抗原进行交叉结合活性鉴定,所用抗原有牛血清白蛋白 (B SA )、乙型 肝炎病毒表面抗原 (H b s A g)、木瓜蛋白酶、小鼠 1 g G。将各种抗原包被酶联板进行 EL 1 SA 检测。(3)竞争抑制 EL 1 SA。包被人整合素  $60~\dot{\alpha}$  抗原。用不同稀释度的鼠抗人整合

素  $\alpha \beta$  单抗 E10 与鼠/人嵌合 Fab 噬菌体抗体等体积混合, 加入酶联板中, 37 解育 2h, 其余步骤同间接 EL ISA, 按下式计算抑制率。

抑制率/% = ((抑制前OD<sub>450</sub>值- 抑制后OD<sub>450</sub>值)/ 抑制前OD<sub>450</sub>值) × 100%。

抑制率> 50% 为阳性。

# 2 结 果

2 1 PCR 扩增 E10 V<sub>H</sub>, V<sub>L</sub> 及人恒定区 C<sub>H</sub>1, C<sub>K</sub> 基 因

分别以上述引物配对扩增  $E10 V_H, V_L$  及人恒定区  $C_H1, C_K$  基因, 结果 4 个基因片段均能很好地扩增, 大小分别为 354, 330, 315 及 310 bp 左右, 与引物设计时理论推断大小一致。

# 2 2 鼠/人嵌合 FD 和轻链基因的连接

通过融合 PCR,  $E10 V_H$ ,  $V_L$  基因分别和人恒定  $E C_H 1$ ,  $C_K$  基因连接, 构建鼠/人嵌合 E D 和轻链基 因, 融合 E D 结果(图 2)表明, 构建了大小分别为 687 和 640 bp 左右的嵌合 E D 和轻链基因。

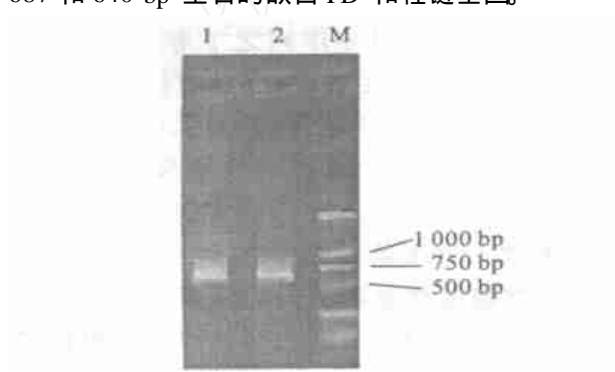


图 2 鼠/人嵌合 FD 和轻链基因的 PCR 构建

- 1. 鼠/人嵌合轻链基因片段的扩增产物;
- 2 鼠/人嵌合 FD 基因片段的扩增产物; 3 相对分子质量标准 DL 2000
- Fig 2 Construction of genes of mouse/human chimeric FD and light chain by overlap PCR

1. Genes of  $V_L$ - $C_K$ ; 2 Genes of

Vн-Сн1; М. DL 2000 marker

# 2 3 鼠/人嵌合 Fab 表达载体的构建及酶切鉴定

构建的鼠/人嵌合 FD 基因经X ho I 和 Spe I 酶切后,与同样酶切的 pCom b3 连接,转化大肠杆菌后,挑选菌落经提取质粒酶切鉴定,证明成功筛选到阳性重组子,命名为 pCom b3 m hFD。pCom b3 m hFD 经载体 S ac I 和 X ba I 酶切后,与同样酶切的鼠/人嵌合轻链基因连接、转化,挑选阳性克隆命

名为pCom b3-Fab。阳性克隆pCom b3-Fab 经X ho I + Spe I 和 Sac I + X ba I 配对酶切鉴定,分别切出 700 bp 左右的片段(图 3),表明阳性克隆插入了鼠/人嵌合 FD 基因和轻链基因。

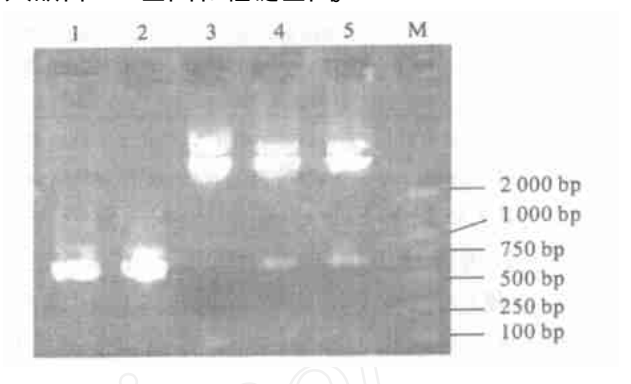


图 3 鼠人嵌合 Fab 噬菌体抗体表达 载体的酶切鉴定

- 1 鼠/人嵌合轻链基因片段; 2 鼠/人嵌合 FD 基因片段;
  - 3 鼠人嵌合 Fab 表达载体 pCom b3-Fab;
  - 4. pCom b3-Fab 经 Sac I /X ba I 酶切;
  - 5. pComb3-Fab 经 *X ho* I /*Spe* I 酶切; M. 相对分子质量标准DL 2000

Fig. 3 Restriction enzyme identifyication of expression vector of mouse/human chimeric Fab

- 1. Mouse/human chimeric light chain genes;
- 2 Mouse/hum an chimeric FD genes; 3 pComb3-Fab;
  - 4 pCom b3-Fab digested by Sac I /X ba I;
  - 5 pComb3-Fab digested by X ho I / Spe I;

M. DL 2000 marker

### 2 4 鼠/人嵌合 Fab 抗体的鉴定

2 4 1 鼠/人嵌合 Fab 噬菌体抗体抗原的结合活性——间接 EL ISA 挑取阳性菌落, 辅助噬菌体超感染后, 培养上清液即为鼠/人嵌合 Fab 噬菌体抗体。用间接 EL ISA 检测其对人整合素 ανβ 抗原的结合活性, 结果培养上清液 OD 450= 0 760, 阳性对照鼠单抗 E10 为 1. 02 (1 20 稀释), 阴性对照辅助噬菌体 V CSM 13 为 0 045。

2 4 2 鼠/人嵌合 Fab 噬菌体抗体的交叉反应性鉴定 为排除鼠/人嵌合 Fab 噬菌体抗体与其他抗原的交叉反应,将鼠/人嵌合 Fab 噬菌体抗体对BSA、HbsAg、木瓜蛋白酶 Papain、小鼠 IgG 等无关抗原进行间接 EL ISA 检测(表 1),结果 Fab 抗体只与人整合素  $\alpha\beta$  抗原发生结合反应,而与其他抗原均不发生反应,说明 Fab 抗体具有与整合素  $\alpha\beta$  的特异结合活性。

#### 表 1 鼠/人嵌合 Fab 噬菌体抗体的交叉反应性鉴定

Table 1 Cross-reactivity of mouse/hum an chimeric antibody to a panel of solid-phase antigens by EL ISA

项目 Item	人整合素 దుగ్ర Human integrin దుగ్రి	B SA	HbsA g	木瓜蛋白酶 Papain	m IgG
PB S	$0.034 \pm 0.01$	$0.043 \pm 0.01$	$0.036 \pm 0.01$	$0.041 \pm 0.01$	$0.036 \pm 0.01$
VCSM 13	$0.045 \pm 0.01$	$0.048 \pm 0.01$	$0.052 \pm 0.01$	$0.042 \pm 0.01$	$0.038 \pm 0.01$
Fab	$0.760 \pm 0.01$	$0.056 \pm 0.01$	$0.054 \pm 0.01$	$0.047 \pm 0.01$	$0.052 \pm 0.01$
mAb E10	1. 02 ± 0. 01	ND	ND	ND	ND

注: 为 PBS 空白对照: 为辅助噬菌体 V CSM 13 阴性对照: ND 表示未做。

PBS as blank control; Helper phage VCSM 13 as negative control; ND: Non done

鼠/人嵌合 Fab 噬菌体抗体的竞争抑制 2 4 3 以稀释度为 1 20, 1 50, 1 100 的鼠单 EL ISA 抗 E10 与鼠/人嵌合 Fab 噬菌体抗体等体积混合. 对人整合素 ανβ 抗原竞争 EL ISA。结果抑制率在鼠 单抗 E10 稀释度为 1 20 时为 75 13%, 1 50 时为 56 25%,1 100 时为 45 42%,即随鼠源单抗 E10 稀释度下降,抑制率反而增加,二者成反比关系。表 明鼠源单抗 E10 对鼠/人嵌合 Fab 抗体具有抑制关 系, 这进一步说明鼠/人嵌合 Fab 抗体与人整合素 ανβ 抗原具有特异的结合活性。

#### 讨 论

整合素 ៚ 是细胞粘附分子, 其主要存在于受 生长因子刺激的内皮细胞或者肿瘤及周围的内皮细 胞表面,整合素 ανβ 不仅可以籍 Arg-Gly-Asp (RGD) 序列与多种基质分子结合, 还可以通过非 RGD 依赖方式结合并激活基质金属硫蛋白MM P-2, 导致细胞外基质分子降解, 使内皮细胞得以侵入 并形成血管[3,4]。 试验同时表明, 抗  $\alpha \nu \beta$  单抗和小分 子 దుద్ది 拮抗多肽均可以抑制 దుద్ద 与蛋白酶结合, 从 而阻断新生血管发生。以 欧 拮抗剂阻断 欧 与 MM P-2 之间的结合, 可以阻断新生血管发生和肿 瘤生长[5,6]。近年来发现的新生血管发生抑制剂 endo steh 和 tum stain 为胶原蛋白衍生而来的小分子 蛋白成分, 它们通过与 ανβ 结合而抑制新生血管发 生 $^{[7]}$ , 同时  $\alpha \beta$  在肿瘤转移中也发挥了重要作用 $^{[8]}$ 。

因此, 当前以整合素 欧岛 为靶标, 研究其抗肿瘤血 管生成的作用,就具有重要的实际意义。

本室保存的抗人整合素 దుగ్రి 杂交瘤细胞株 E10, 具有很好的中和活性, 为扩宽其临床应用, 本 试验构建了鼠/人嵌合 Fab 噬菌体抗体表达载体。 选用的 pCom b3 载体是美国加州 Scripp s 研究所构 建的一套可用于 Fab 克隆与表达的噬菌体载体系 统,可有效表达 Fab 抗体分子,抗体的 FD 片段 C 端 可与噬菌体外壳蛋白III C 端 198~ 406 的 AA 片段 通过 5 肽 GGGGS 相互连接形成融合蛋白, 共同展 示在噬菌体表面, 而轻链和 FD 片段被置于 2 个 LacZ 启动子和 peB 引导序列之下等量表达, 表达 产物在 peB 信号肽作用下,被分泌至细菌外周质空 间, 在外周质空间的氧化还原环境中, 抗体 FD 片段 与轻链片段通过链间二硫键自发组装成功能性的 Fab 蛋白[9,10]。 1985 年, Sm ith 等[11]发现, 将一基因 片段与噬菌体 fd-tet 的基因III连接, 则该基因编码 的多肽可以与噬菌体基因Ⅲ编码的蛋白以融合形式 出现在噬菌体表面。至此,噬菌体展示技术得到了广 泛的应用,目前已有多种分子表达在噬菌体表面。本 室从已构建的 E10 ScFv 载体中扩增 E10 V H 及 V L 基因, 分别与人恒定区 CH1 及 CK 基因连接, 构建了 鼠/人嵌合 Fab 噬菌体抗体表达载体。经辅助噬菌 体超感染后, EL ISA 及竞争抑制 EL ISA 结果表明, 在噬菌体表面成功展示了与人整合素 దుగ్రీ 抗原有 特异结合活性的鼠/人嵌合 Fab。

#### [参考文献]

- [1] Folkman J. Tumor angiogenesis: therapeutic implication[J]. N Engi J M ed, 1971, 285 (21): 1182-1186
- [2] Folkman J. Tumor angiogenesis[A]. Holland J. F. Cancer medicine Vol 1. [C]. 4th ed Baltimore: Williams and Wilkins, 1997. 181-204.
- [3] Brooks P C, Montgomery A M, Rosenfeld M. Integrin alpha v beta 3 antagonist promote tumor progression by inducing apoptosis of angiogenic blood vessels[J]. Cell, 1994, 79 (7): 1157- 1164
- [4] Brooks PC, Stromblad S, Sanders LC, et al Localization of matrix metalloprotein aseMM P-2 to the surface of invasive cells by interaction with integrin alpha v beta 3[J]. Cell, 1996, 85(5): 683-693
- [5] Brooks P C, Stromblad S, Klemke R, et al Antiintegrin alpha v beta 3 blocks human breast cancer growth and angiogenesis in human

- skin[J]. J Clin Invest, 1995, 96(4): 1815- 1822
- [6] Silletti S, Kessler T, Goldberg J, et al Disruption of matrix metalloproteinase 2 binding to integrin alpha vbeta 3 by an organic molecule inhibits angiogenesis and tumor growth in vivo[J] Proc Natl Acad Sci USA, 2001, 98(1): 119-124
- [7] Rehn M, Veikkda T, Kukk-Valadre E, et al Interaction of endostain with integrins implicated in angiogenesis [J]. Proc Natl A cad Sci USA, 2001, 98(3): 1024-1029.
- [8] Liapis H, Flath A, Kitazawa S. Integrin alpha V beta 3 expression by bone-residing breast cancer metastases [J]. Diagn Mol Pathol, 1996, 5(2): 127-135.
- [9] Barbas C F 3rd, Kang A S, Lenner R A, et al A ssembly of combinatorial antibody libraries on phage surface: the gene III site[J]. Proc Natl A cad sci U SA, 1991, 88: 7978-7982
- [10] Kang A S, Barbas C F, Janda K D, et al L inkage of recognition and replication functions by assembling combinatorial antibody Fab libraries along phage surfaces [J]. Proc Natl A cad sci U SA, 1991, 88: 4363-4366
- [11] Sm ith G P, Petrenko V A. Phage display [J]. Chem Rev, 1997, 97(2): 391-410

# Construction and expression of mouse/human chimeric Fab of mAb E10 against integrin $\alpha \nu \beta$ on phage

WANG Chen<sup>1</sup>, HOU L i-hua<sup>2</sup>, ZHANG Yan-m ing<sup>1</sup>, L I Jian-m in<sup>2</sup>, L IAO Zhen-lin<sup>2</sup>, DU Gui-x in<sup>2</sup>, CHEN W ei<sup>2</sup>, TONG Y i-gang<sup>2</sup>

(1 College of A nim al Science and Technology, N orthwest Sci-Tech University of A griculture and Forestry, Yangling, Shaanxi 712100, China; 2 Institute of M icrobiology and Epidemiology, A cadem of M ilitary Medicine, Beijing 100071, China)

Abstract: To construct and express the mouse/human chimeric Fab antibodies on phage, the genes of the variable region of the heavy chain (V<sub>H</sub>) and light chain (V<sub>L</sub>) were amplifyied by PCR from expression vector of anti-human integrin & ScFv, and then V<sub>H</sub> and V<sub>L</sub> genes of mAb E10 were ligated with human heavy chain C<sub>H</sub>1 and human C<sub>K</sub> genes The chimeric Fab expression vector was constructed by cloning the chimeric heavy chain FD and light chain genes into pComb3 Fab antibodies were expressed on phage by superinfection with the helper phage VCSM 13, and the binding activity of antibody was detected by indirect EL ISA and competitive inhibition EL ISA. Mouse/human chimeric Fab expression vector was constructed and expressed on phage successfully. The Fab antibodies had binding activity with human integrin & AB

**Key words:** integrin  $\alpha \beta$ ; chim eric antibody; phage display